

05.2;09;12

©1995

СТРУКТУРЫ КИРАЛЬНАЯ СРЕДА-ФЕРРИТ: КИРАЛЬНЫЙ-ФЕРРОМАГНИТНЫЙ РЕЗОНАНС

Ю.Н.Казанцев, Г.А.Крафтмажер

В [1] сообщалось об исследовании на СВЧ нового композиционного материала — киральной среды на основе ориентированных немагнитных спиральных проводящих витков, обладающих микроволновой магнитной проницаемостью μ' и μ'' , существенно превышающей по величине магнитную проницаемость традиционных композитов магнитного типа при аналогичной концентрации включений. Обнаруживаемая прямыми измерительными СВЧ-методами магнитная проницаемость в немагнитной среде является проявлением свойств наведенных круговых СВЧ-токов и магнитоэлектрических взаимодействий.

Изучаемые среды относятся к классу биизотропных и бианизотропных сред, известных как оптически активные. В настоящее время интерес к таким средам растет в связи с переходом исследований в СВЧ-диапазон благодаря созданию новых композиционных материалов [2-4].

В данной работе показано, что в области резонанса магнитная проницаемость может достигать значений, близких к магнитной проницаемости магнитных металлов и ферромагнетиков, и может управляться внешним магнитным полем в структуре киральная среда-феррит благодаря взаимовлиянию кирального и ферромагнитного резонансов.

Исследовались цилиндрические образцы киральной среды ch, аналогичные описанным в [1], представляющие собой полые цилиндры с боковыми стенками из немагнитных, ориентированных проводящих спиралей в 1.5 оборота (диаметр цилиндров и длины проводников много меньше длины волны λ , диаметр проводников 15 мкм, расстояние между витками 200 мкм), помещенных между двумя диэлектрическими пленками (рис. 1, а).

Исследовались также структуры киральная среда-феррит chF, в которых ферритовый стержень был помещен в полость кирального цилиндра (рис. 1, б), и структуры ch + F, в которых ферритовый стержень находится вне полости цилиндра, рядом с ним (рис. 1, в).

Измерялись коэффициент отражения R и сдвиг резонансной частоты резонатора Δf в диапазоне частот при помещении образцов в пучность СВЧ магнитного поля h и зависимости R и Δf от угла накрутки спирали α и от величины внешнего постоянного магнитного поля H_0 .

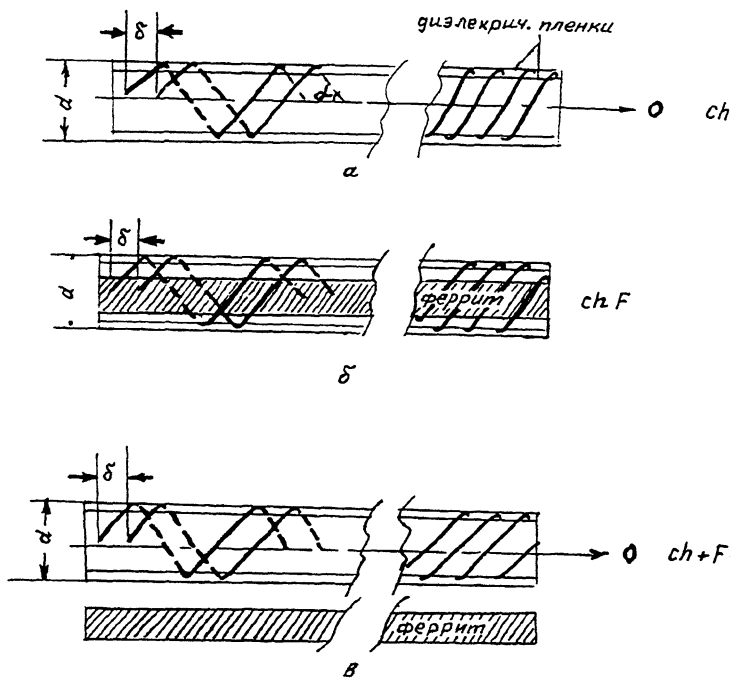


Рис. 1. Исследуемые образцы:

a — образец из ориентированных проводящих спиральных витков в 1.5 оборота — киральный цилиндр *ch*, α — угол накрутки спирали, $\delta = 200$ мкм, $d = 2.5$ мм; *b* — структура *chF*: феррит в полости кирального цилиндра; *c* — структура *ch + F*: феррит вне кирального цилиндра.

На основании этих измерений определялись величины μ' и μ'' по аналогии с [1,6], изучались свойства и закономерности μ' и μ'' в диапазоне частот и в зависимости от H_0 .

Для измерений использовались панорамные измерители КСВ в сочетании с набором прямоугольных полуволновых резонаторов.

Поскольку исследуемые образцы не могут занимать абсолютно локальное положение, то даже в пучности магнитного микроволнового поля они всегда подвергаются некоторому воздействию микроволнового электрического поля E . При этом если диэлектрическая проницаемость $\epsilon \gg \mu$, то опасность влияния электрического поля очень велика. Поэтому важно создать такие образцы киральной среды и выбрать такие методы и средства измерений, которые бы позволили изучать отдельно влияние электрического и магнитного микроволновых полей и их контролировать.

Выбранная геометрия образцов и резонаторов позволяла проводить измерения в ситуациях максимального воздействия микроволнового магнитного поля h при минимальном, практически исключенном, влиянии электрического поля E . Таким положением образца в резонаторе является пучность магнитного микроволнового поля при h , параллельном оси цилиндра, и E , перпендикулярном оси. Измеренные при такой ориентации величины μ' близки к величинам ϵ' , а $\mu'' \gg \epsilon''$ [1].

При исследовании в этой геометрии частотных характеристик были обнаружены резонансная зависимость μ'' и дисперсионная μ' (киральный резонанс магнитной проницаемости КР). При измерениях на частотах, близких к резонансному максимуму, обнаружена бифуркация резонансной кривой резонатора, являющаяся, по-видимому, следствием магнитоэлектрических взаимодействий, характерных для киральных сред. Так, при внесении образцов наблюдаются два резонанса с двумя парами значений R_1 , $\Delta f_1 > f_r$ и R_2 , $\Delta f_2 < f_r$ (f_r — частота резонатора без образца), которым можно поставить в соответствие две пары значений μ'_1 , μ''_1 и μ'_2 , μ''_2 [7].

На рис. 2 приведены частотные зависимости μ'' и μ' для киральных образцов ch с углом накрутки спирали $\alpha = 90^\circ$ (один элемент представляет собой разомкнутое кольцо с нахлестом).

Приведенные на рис. 2 кривые представляют собой две разрывные ветви, перекрывающиеся в некоторой частотной области ΔF : диамагнитная ветвь значений μ'_1 , μ''_1 ($\mu_1 < I$) и парамагнитная ветвь μ'_2 , μ''_2 ($\mu'_2 > I$). Частоту f_{ro} , на которой $\mu'_1 = \mu''_2$, будем называть центральной частотой кирального резонанса μ .

Проведенные измерения свидетельствуют, что магнитная проницаемость μ'' исследуемых образцов превышает μ'' композитов магнитного типа на основе шариков железа при аналогичной концентрации (0.2% объемных) более чем на 2 порядка и достигает в резонансе величин, близких к магнитным металлам, таким как кобальт и никель, уступая железу и сплавам железа, для которых μ'' в этом диапазоне составляет 60 [6]. С повышением частоты μ металлов резко падает и уже при $\lambda = 1$ см магнитная проницаемость киральных сред сможет конкурировать и с железом.

Если же сравнивать волновые сопротивления $\rho = \sqrt{\mu/\epsilon}$, то киральные среды, имея близкие значения ϵ и μ , оставляют далеко позади магнитные металлы и на более низких частотах, поскольку диэлектрическая проницаемость металлов на порядки превышает их магнитную проницаемость.

Частотные зависимости типа рис. 2 наблюдаются при соответствующих частотах резонансов μ'' и μ' для киральных образцов с другими значениями α , а также для структур chF и ch + F. Для структур chF и ch + F изучалось влияние постоянного магнитного поля H_0 по изменению R и Δf резонатора при изменении H_0 .

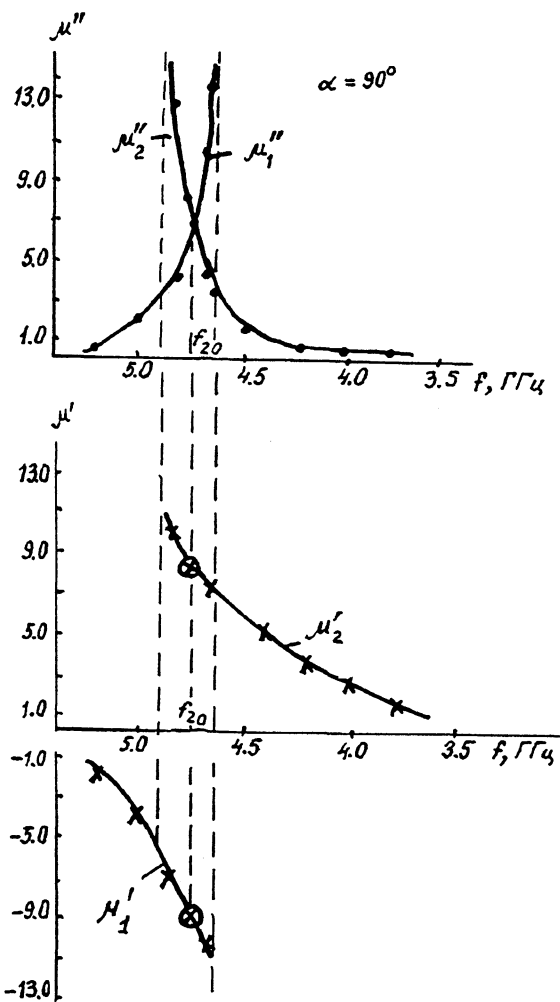


Рис. 2. Зависимость действительной μ' и мнимой μ'' частей магнитной проницаемости от частоты для образца ch с $\alpha = 90^\circ$.

На рис. 3 показана наблюдаемая на индикаторе прибора картина для образцов ch с $\alpha = 90^\circ$ в случае $f_r < f_{ro}$ и $H_0 \perp h$, f_{ro} — центральная частота, при которой $\mu_1'' = \mu_2''$, f_r — частота измерительного резонатора без образца.

Из рис. 3 видно, что внесение кирального образца смещает резонансную кривую резонатора в положение f_{ch} , помешание ферритового стержня в полость кирального образца (структура chF) приводит к смещению резонансной кривой

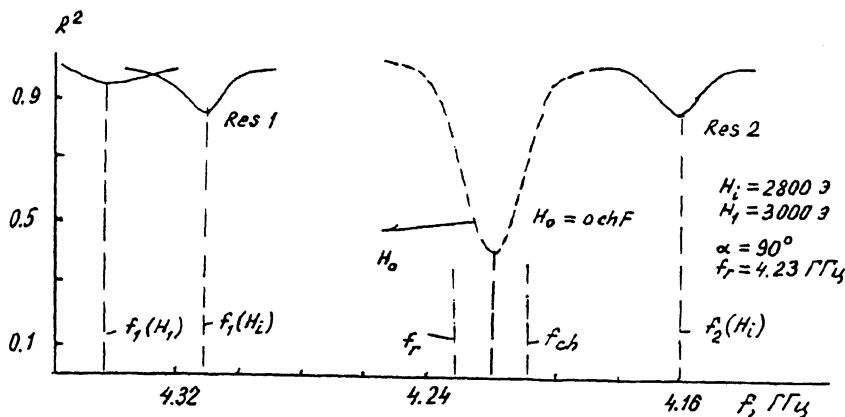


Рис. 3. Динамика наблюдаемых на индикаторе прибора резонансных кривых измерительного резонатора для образцов ch, chF в отсутствие и при наложении внешнего магнитного поля H_0 , f_r — положение резонансной кривой резонатора в отсутствие образца, f_{ch} — положение резонансной кривой резонатора с образцом ch, $H = 0$, chF — резонансная кривая резонатора для структуры chF в отсутствие поля H_0 , $f_1(H_i)$ и $f_2(H_i)$ — бифуркация резонансной кривой резонатора в поле H_i : два резонанса с одинаковыми значениями R и разными частотами f_1 и f_2 .

в положение $H = 0$ chF. Наложение внешнего магнитного поля H_0 уменьшает интенсивность резонанса chF и смещает его влево, в область более высоких частот ($\Delta f < 0$), это диамагнитная ветвь. При H_0 , близких к H_i , появляется второй резонанс резонатора с $\Delta f > 0$, это парамагнитная ветвь. Интенсивность второго резонанса с увеличением H_0 растет. При $H_0 = H_i$ интенсивности Res1 и Res2 выравниваются, затем с ростом H_0 относительно H_i Res1 затухает, а Res2 усиливается. Таким образом, имеются два ряда значений R_1 , Δf_1 и R_2 , Δf_2 , которые при изменении H_0 меняются.

Результатом обработки зависимостей рис. 3 и соответственно измерений R и Δf являются зависимости μ' и μ'' от величины H_0 , приведенные на рис. 4. Это резонансные зависимости магнитной проницаемости, которые представляют собой две разрывные ветви: диамагнитная ветвь значений μ_1'' и μ_1' (определенными параметрами Res1) и парамагнитная ветвь значений μ_2'' и μ_2' (определенными параметрами Res2). Из рис. 4 видно, что при некотором поле $H_0 = H_i$ ветви мнимой части магнитной проницаемости пересекаются:

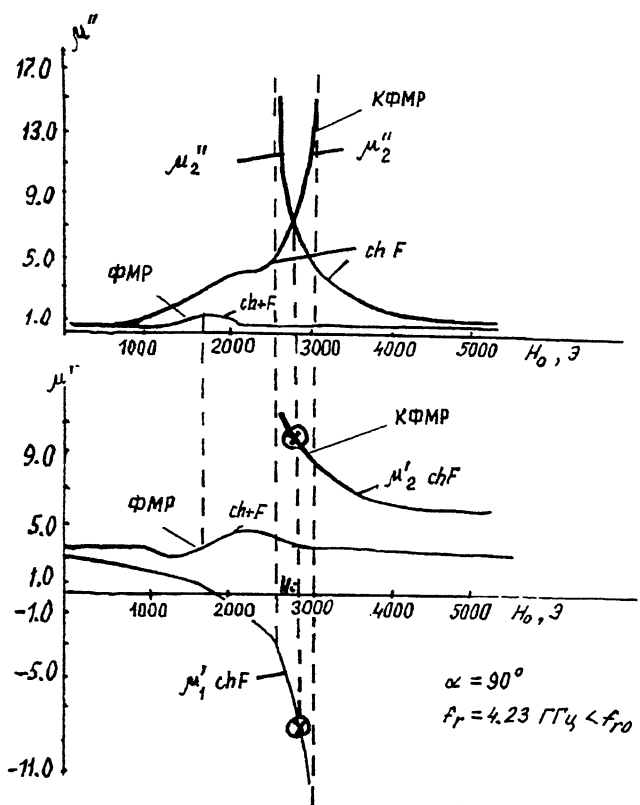


Рис. 4. Зависимость действительной μ' и мнимой μ'' частей магнитной проницаемости от внешнего магнитного поля $H_0 \perp 0 (\perp h)$ для структур chF и $ch + F$ на фиксированной частоте.

$\mu'' = \mu'_2$. При увеличении H_0 относительно H_i диамагнитная ветвь затухает (μ''_1 растет и $|\mu'_1|$ растет при отрицательном значении μ'_1). При уменьшении величины H_0 относительно H_i затухает парамагнитная ветвь (растет μ''_2 и μ'_2). В области полей ΔH по обе стороны от H_i наблюдается сосуществование двух ветвей: бифуркация действительной и мнимой частей магнитной проницаемости с $\mu''_1 = \mu''_2$ при $f = f_r$, и $H_0 = H_i$, подобная описанной выше в киральных образцах без феррита в области частот ΔF при $H_0 = 0$ и $\mu''_1 = \mu''_2$ при $f = f_{r0}$.

В отличие от структуры chF структура $ch + F$ проявляет аддитивность магнитных проницаемостей, зависимости μ от H_0 для нее повторяют ФМР феррита относительно точки отсчета $H_0 = 0$, соответствующей киральному образцу ch .

Из рис. 4 видно, как небольшие изменения μ феррита при ФМР, наблюдаемые в структуре $ch+F$, соответствуют сильным изменениям μ в структуре chF , которые можно рассматривать как результат взаимовлияния кирального и ферромагнитного резонансов — киральный ферромагнитный резонанс КФМР, КФМР превосходит по интенсивности ФМР более чем на порядок.

Таким образом, наиболее существенными нам представляются следующие результаты данной работы.

1. В киральных образцах из ориентированных немагнитных проводящих спиралей обнаружен резонанс высокочастотной магнитной проницаемости с характерными особенностями резонансных зависимостей μ'' и μ' , проявляющимися в бифуркации резонансной кривой резонатора.

2. В резонансе СВЧ-магнитная проницаемость киральных образцов достигает величин, близких к магнитным металлам.

3. В структуре киральная среда-феррит обнаружено взаимовлияние кирального и ферромагнитного резонансов, результатом чего является киральный — ферромагнитный резонанс, превосходящий по интенсивности ФМР более чем на порядок. Показана возможность управления магнитной проницаемостью с помощью внешнего магнитного поля.

Работа выполнена при поддержке РФФИ (код проекта 95-02-06070).

Список литературы

- [1] Казанцев Ю.Н., Крафтмакер Г.А. // Письма в ЖТФ. 1993. Т. 19. В. 20. С. 74–80.
- [2] Третьяков С.А. // РиЭ. 1994. Т. 39. В. 10. С. 1457–1470.
- [3] de Daran F., Vigneras-Lefebvre V., Parneix J.P., Mariotte F., Garat J. // Proceeding of "Chiral' 94". Perigueux. France. May 18–20. 1994.
- [4] Jaggard D.L., Mickelson A.R., Papas C.H. // Appl. Phys. 1979. V. 18. P. 211–216.
- [5] Varadan V.K., Varadan V.V., Ma Y., Lakhtakia A. // Proc. SPIE. 1988. V. 927. P. 213.
- [6] Казанцев Ю.Н., Крафтмакер Г.А. // ФММ. 1989. Т. 67. В. 5. С. 903–908.
- [7] Kazantsev Yu.N. // Proceedings of "Chiral' 94". Perigueux. France. May 18–20. 1994. P. 215–222.
- [8] Казанцев Ю.Н., Крафтмакер Г.А., Глазер А.А., Потапов А.П., Тагиров Р.И. // ФММ. 1991. В. 3. С. 116–121.
- [9] Kazantsev Yu.N., Kraftmakher G.A. // Proceeding of "Chiral' 94". Perigueux. France. May 18–20. 1994. P. 347–357.

Институт радиофизики
и электроники РАН
Фрязино

Поступило в Редакцию
1 июня 1995 г.